

講義

冷間加工 (III)

成形加工

春日保男*

Cold Working (III)

Forming

Yasuo Kasuga

成形加工

曲げ加工に軽度の絞りや張出し加工を加味した中間加工を一般に成形加工とよんでいる。しかし字の含む意味から、成形を一層広義に用いることも少なくない。大抵の場合、単純曲げと絞りまたは張出しの組合せとして論ずることができるが、取扱う製品のサイズにも形態にも変化が多く、個々の問題に対して容易に核心がつかめないことも少なくない。

成形加工法の分類様式自体はそれほど大切でないが、成形品の形状による加工の難易、頼るべき成形法などに

ついで技術的問題がすこぶる多い。

形状分類は G. Sachs の著書¹⁾に見られ、さらに加工の厳しさと材料選定を目的とした一種の加工度分類が米国金属学会から公表されている²⁾。表 8 および 9 はこれを示す。

1. フランジング、バーリング

板をその一端に沿う任意の線を曲げ軸として曲げ、直角壁を成形する加工をフランジング (flanging) という。加工方法は前節曲げ加工の分類の 1・b に類似し、形成される直角壁の高さは板全体の長さ寸法に比し、元来小さいものとする。曲げ軸が直線の場合は単純曲げに

表 8 Sachs による金属板成形の分類。

I 単一曲げ部品	a. 直線断面をもつ部品 b. 直線フランジつき部品 c. 単一曲率で滑らかな形をもつ部品
II 曲線フランジつき部品	a. 伸びフランジつき部品 b. 縮みフランジつき部品 c. 伸び縮みの両フランジの組合せをもつ部品
III ほぼ一様な断面形をもち曲った部品	a. 単一断面形をもち細長く曲った部品 b. 単一断面形で短く曲った部品 c. 断面形が均一でなく細長い曲った部品
IV 深絞り部をもつ部品	a. 垂直壁部をもつ深絞り部品 b. 傾斜壁をもつ深絞り部品
V 浅い絞り部をもつ部品	1. カップ形部品 2. 管状部品 3. 凹形部品 1. 傾斜壁をもつ容器形状部品 2. 一部が開放した部品 3. 管体を二つ割りにした形状の部品 a. 二つの曲率をもつ滑らかな形状の部品 b. 皿形の部品 c. ビード、エンボス、波形補強のついた部品

* 名古屋大学工学部教授

1) 文献 (85) 参照

2) ASM Committee of Formability of Sheet Steel, The selection of sheet steel for formability, Metal Progress V. 68 pp. 1~11 (1955)

表9 成形加工度分類および鋼板に要求される性質(米金属学会)

(a) 板厚 0.062inまでの1008冷間圧延鋼板の加工度の分類。

加工度の等級	成形法の型式	曲げあるいは伸びの程度(a)	最小オルゼン値(b) in	最大ロックウェルB硬さ	1008冷間圧延鋼板の等級	
					露出部品	非露出部品
1 (CR)	90° 曲げ	最小半径 1 × 板厚	—	80(c)	普通の調質圧延リムド鋼(d)	普通の焼なましリムド鋼(d)
2 (CR)	180°までの曲げ 絞り	最小半径 0.01in 10%まで	0.340	65	同上(e)	同上(e)
3 (CR)	絞り	10~20%	0.365	55	同上	同上
4 (CR)	絞り	20~30%	0.385	50	絞り用調質圧延リムド鋼	同上
5 R (CR)	絞り	30~35%	0.390	45	同上	絞り用焼なましリムド鋼
5 K (CR)	しわの恐れある絞り	30~35%	0.385	47	絞り用調質圧延キルド鋼	絞り用調質圧延キルド鋼
6 K (CR)	しわの恐れある絞り	35~40%	0.400	42	同上	同上

註 (a) これらの値は加工前にブランクに 1in 間隔の格子を書いておいて、その線の間で測った伸びの最大値であるから、標点距離が異なる場合には適用できない。

(b) 板厚が 0.036in に対する値を示し、他の板厚に対する値はオルゼン値 = $0.300 + 2.5t$ (0.001in) ただし t は板厚。

(c) 圧延に平行な 90° 曲げでは最大 70。

(d) 1020鋼を用いてもよいが、1008 または 1010鋼の方が低廉。

(e) 1010鋼も適當。

(b) 板厚 0.250in までの熱間圧延鋼板に対する加工度の分類

加工度の等級	成形法の型式	曲げ(a)あるいは伸び(b)の程度	最小伸び率% 2in間隔(c)	最大ロックウェルBの硬さ	熱間圧延リムド鋼の等級
1 (HR)	90° 曲げ	板厚 0.090in までは最小半径 1 × 板厚 板厚 0.250in までは最小半径 2 × 板厚	—	80	普通鋼 1008~1030
2 (HR)	90° 曲げ 180° 曲げ 絞り	板厚 0.250in までは最小半径 1½ × 板厚 板厚 0.090in までは最小半径 ¾ × 板厚 10%まで	30	68	普通鋼 1008~1015
3 (HR)	絞り	10~20%	35	35	普通鋼 1008
4 (HR)	絞り	20~30%	40	55	絞り用 1008

註 (a) 曲げ半径は圧延方向と平行な曲げ軸に対するものである。

(b) これらの値は加工前にブランクに 1in 間隔の格子を書いておいて、その線の間で測った伸びの最大値であるから、標点距離の異なる場合は適用できない。

(c) 示された値は、板厚 0.090in に対するものである。他の板厚に対する値は伸び (HR) = $38 + 10 \log t$ ただし t は板厚 mm

(c) 冷間圧延鋼板の成形に対する必要な性質

鋼の等級	ロックウェル降伏点(a) B硬さ	引張強さ kg/mm ²	弾性比	全伸び(b) % 2in間隔	一様伸び(b) % 2in間隔	(b) オルゼン値 inch
普通の焼なましリムド鋼	50	24.61	29.53	0.85	37	23
普通の調質圧延リムド鋼	55	24.61	30.94	0.80	35	19
絞り用焼なましリムド鋼	45	22.50	28.83	0.75	41	25
絞り用調質圧延リムド鋼	48	21.09	29.53	0.70	39	23
絞り用調質圧延キルド鋼	45	17.58	28.83	0.60	41	26

註 (a) 降伏点は圧延方向の値が与えられている。横方向の値は 14.06 kg/mm² だけ高い。

(b) 板厚 0.036in に対する値が与えられている。ほかの板厚に対する伸び率およびオルゼン値は伸び (CR) = $41 + 10 \log t$ (mm) ただし t は板厚。
オルゼン値 = $0.300 + 2.5t$ (0.001in)

に缶の口端のせん断面が亀裂破断面をもち、それが曲げの場合の引張応力側にもたらされたことは好ましくない。

容器の口辺を内側にカールする場合は、蓋を組合せたりする要求のある場合以外、例が少ない。この場合曲げ軸方向の圧縮応力のため座屈し、カール部分にしわが生じ勝ちになる。

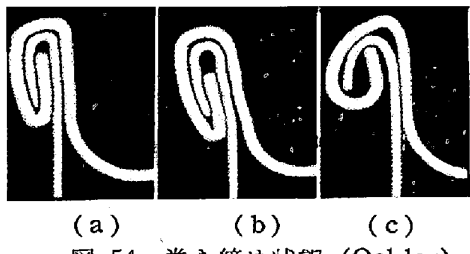


図 54 卷き締め状態 (Oehler)

カーリングの外半径 R は通常板厚の 2.5~5 倍とする。類似の加工に缶詰用缶などの巻き締めがある。図 54 は 3 種の巻き締め状態を示す。加工は 1 種のカーリングロールによるが、a は良好な仕上り状態で接合部に残された空間の少ない緊密なもの、b はロール間隔の調整を誤った例で接合部に空間が多過ぎる。c はロールの巻き締め不足で製品としては使用不可能である。

自動製缶機ロールは板厚の不同を極度にきらうものである。

3. ネッキング、ノージング

深絞りされた容器などの口辺を絞つて細める加工をノージング (nosing)，絞られた部分に容器軸に平行な円筒部(頸)を形成する場合をネッキング (necking) という。後の場合には頸部の上下に隣接部すなわち、絞られない材料部分があつて差支えがない。加工は容器が軸方向に圧縮されても座屈せぬことを前提にして、円すい穴を

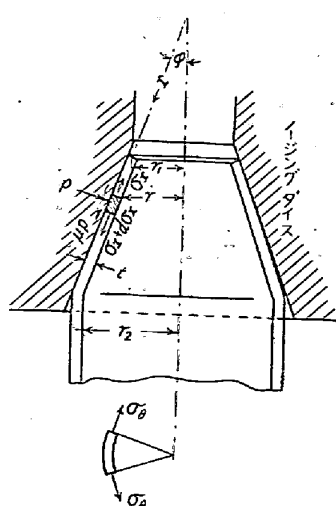


図 55 ノージングにおける応力

もつダイスによつて容器口辺をすえこむか、スピニング旋盤とロールによる絞りである。軸方向圧縮によるノージングは A. Nadai¹⁾ および G. Sontag²⁾により解析されている。

Nadai の解は比較的厚肉で均等厚さなることを前提にし、しかも材料

1) 文献 (97) 参照

2) 文献 (98) 参照

の硬化性が少ないと（熱間加工）ことを仮定してつぎのごとく得られた。図 55 において円周方向応力 σ_θ を一定と考えれば、ダイス壁に生ずる圧力は

$$p = -\frac{t}{r} \sigma_\theta \cos \varphi$$

である。ただし、 t は壁厚、 r は半径座標、 φ は円すい角である。微小セグメントについて壁長手方向の力の釣合を書くと

$$d\sigma_x = \sigma_\theta (1 + \mu \cot \varphi) \frac{dx}{x} \quad \dots \dots \dots (37)$$

となる。ただし σ_x は壁の長手方向応力、 x は長手方向座標は、 μ はダイス壁面の摩擦係数。

仮定により、 $\sigma_\theta = -\sigma_e$ 、 σ_e = 単純圧縮降伏応力(一定)とすれば、(37) は容易に積分できる。境界条件は

$$x = r_1 / \sin \varphi \text{ において } \sigma_x = 0 \text{ である。}$$

$$\sigma_x = -\frac{\sigma_e}{K} \left(1 - \frac{r_1}{r} \right), \quad K = \tan \varphi / (\tan \varphi + \mu) \quad \dots \dots \dots (38)$$

したがつて、ノージングに必要な垂直荷重は

$$P = 2\pi r_2 t |\sigma_{x_2}| \cos \varphi, \quad \sigma_{x_2} = [\sigma_x]_{r=r_2} \quad \dots \dots \dots (39)$$

である。

Sontag は口端部から基部まで変形抵抗（降伏応力）が変化する場合を取り扱つた。変形抵抗が口端部で σ_{e_1} 、基部で σ_{e_2} とし、その間、軸方向に直線的に分布すると考えると、

$$\left. \begin{aligned} \sigma_\theta &= - \left[\sigma_{e_1} + (\sigma_{e_2} - \sigma_{e_1}) \frac{r - r_1}{r_2 - r_1} \right] = -\sigma_e \\ \sigma_x &= -\frac{\sigma_{e_2}}{K} \left[\frac{\sigma_{e_1}}{\sigma_{e_2}} \left(1 - \frac{r_1}{r} \right) \right. \\ &\quad \left. + \frac{1 - \sigma_{e_1}/\sigma_{e_2}}{2(r_2/r_1 - 1)} \left(\frac{r}{r_1} + \frac{r_1}{r} - 2 \right) \right] \end{aligned} \right\} \quad \dots \dots \dots (40)$$

をうる。基部では

$$\sigma_{x_2} = -\frac{\sigma_{e_2}}{K} \cdot \frac{1 + \sigma_{e_1}/\sigma_{e_2}}{2} \left(1 - \frac{r_1}{r_2} \right) \quad \dots \dots \dots (41)$$

ノージングの加工限界を考えるに、長手応力最大値 σ_{x_2} が周方向応力 σ_{θ_2} を凌駕すれば容器が膨む可能性を生ずるから、この点を限界条件とする。基部の周方向応力最大値は

$$\sigma_{\theta_2} = -\frac{2}{\sqrt{3}} \sigma_{e_2} \quad \dots \dots \dots (42)$$

と考えて差支えぬ。この値が長手方向応力臨界値に等しいと考え、(41) (42) を等しくおいて K を求めると、

$$K = 0.435 \left(1 + \frac{\sigma_{e_1}}{\sigma_{e_2}} \right) \left(1 - \frac{r_1}{r_2} \right) \quad \dots \dots \dots (43)$$

をうる。 K は一方 (38) で与えられているから、円すい

角 φ と摩擦係数を与え材料の硬さ分布 $\sigma_{e_1}/\sigma_{e_2}$ を与れば r_1/r_2 の臨界値を知ることができる。図56はこのための図表である。冷間加工では $\sigma_{e_1}/\sigma_{e_2} > 1$ と考るべきである。

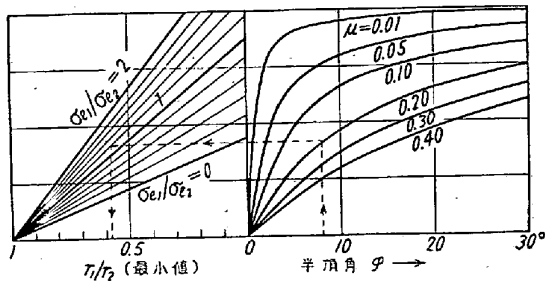


図56 ノージング限界比 (Sontag)
(例: $\varphi=8^\circ$, $\mu=0.20$, $\sigma_{e_1}/\sigma_{e_2}=1.2$,
 $r_1/r_2 \text{ mn}=0.57$)

宮川¹²はノージングの加工臨界を座屈問題として考察し、容器が有底の場合には円筒壁と底部の接続部に生ずる座屈が加工限界を決定することを指摘している。図57はアルミニウムに対する実験結果の一例であるが、図の限界応力は底部で半径方向の膨がみ急増する時期の軸方向応力である。

σ_e が一定で加工部が曲つたプロフィルをもつ場合のNadaiの解を図58に示す。ノージング荷重はプロフィルの曲り半径と板厚のみにより定まり容器の直径には無関係である。

4. 張出し成形 (ストレッチフォーム)

大形の自動車の屋根板パネルのように圧縮成形するには過大な製品に利用される方法で、板面に沿う引張力による変形を利用する加工法である。特徴は、

- (1) 比較的小さい力で、迅速に所定の成形を達しうる。

1) 文献(95)参照

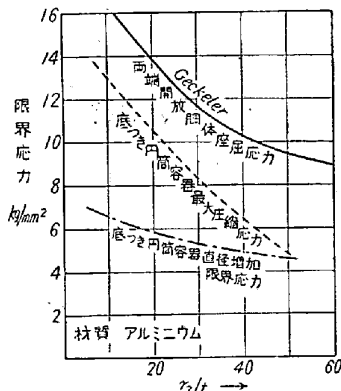


図57 ノージング限界応力 (宮川)

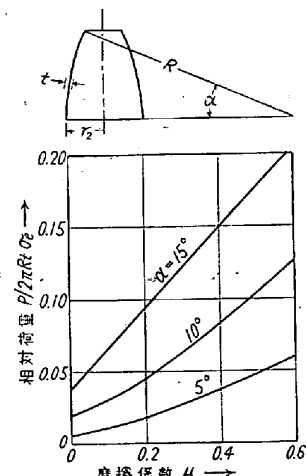


図58 ノージング荷重 (Nadai)

- (2) 圧縮応力が働くないので座屈の危険が少ない。
- (3) スプリングバックの制御が自由にできる。
- (4) 板厚の不均一も少ない。
- (5) 工具の面と材料の間に相対運動が少ないので面の仕上り状態が良い。
- (6) 普通のプレス成形型では不可能な鋭い形状を一工程で成形し、しかもポンチ側工具のみ準備すればよい。などである。

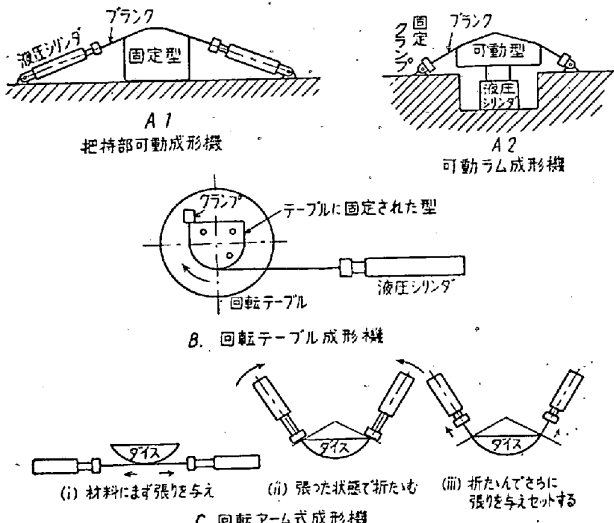


図59 張出し成形法の分類

加工機構を分類すると図59のようである。材料把持部が半径方向に動き、これにより材料に引張を与えた状態において材料の一端をつかんだ型テーブルが回転する形式が最近のラジャルドロー成形法に見られるものである。(図B参照)この種の成形機を万能コントール成形機ともいう。写真を図60に示す。

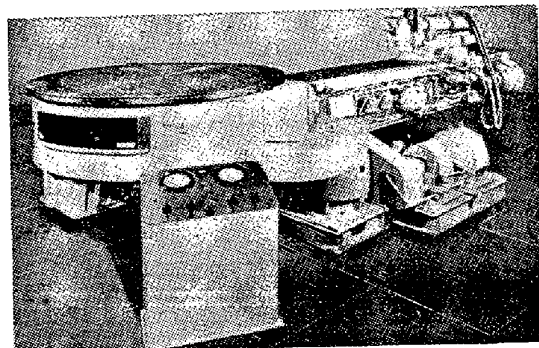


図60 万能コントール成形機

また、円形心金型ダイスを子午面で割り半径方向に伸縮できるように作り、これを水圧プレスで操作して軸対称殻体を半径方向に張出し成形するラジャル成形法もある¹³。これは剛体ダイスによるバルジ加工の一種である。

1) 文献(101)参照

る。

図 59 Cのタイプは Hufford 社で製作している Hofford-Carousel-type の張出し成形機に見られる。この機械では中央に成形型を取りつける固定テーブルがあり、これを中心としてコンパスの両脚のごとく旋回可能な二つの翼テーブルがある。両翼テーブルにはC型ヘッドを載せこれが材料両端を固定する把持ブロックをもつている。把持ブロックは液圧シリンダにより半径方向(テーブル長手方向)に材料の両端を引張りながら中央の型に押しつけることができる。

従来の普通形張出し成形法では把持部は固定で、これによつて両端を把まれた材料に中央からポンチが上向きに作用するものが多い。(図 59 A 2 参照。) この方法は広範囲な成形には必ずしも適していない。

把持部の固定方法を変更し、豎軸のまわりに旋回可能にしたものもあるが、多少不規則形を成形できるが極く自由ではない。特に加工中の張力制御は自由に行いえない。

中央に固定された成形型の両側で把持腕が別個に 90°ずつ回転して加工を進める形式では、把持腕の任意の角度位置で張力を自由に制御できる。これが張出し折畳み成形法(stretch-wrap-forming)といわれる数年前に

開発された新法である。

張出し折たたみ成形法にはつきの利益がある。

1. 型のごく近くに把持部をもち来たしうるから廃却される材料部分が少ない。

2. 材料が型に接触し始める場所の傾角が自由に制御でき、工程を通じて一定の傾角とすることもできる。

3. プレスのアーム(把持部の取りつけられている腕)を単独に動かしうるので、不規則な型にも自由に厳密に従わせることができる。

最近の把持部は板をあらかじめ曲面として固定することが可能で、三次元的な深い成形が可能となつてゐる。

図 61 はその一例を示す。

張出し成形を受ける材料は引張強さと降伏点との差が大きいことを要する。すなわち韌性を望まれる。表 11

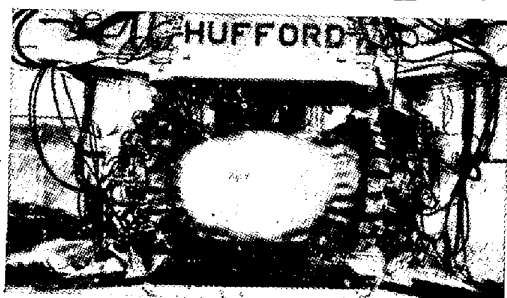


図 61 張出し折たたみ成形機(Hufford)

表 11 諸種金属の張出し成形性 (Corral)

(a) アルミニウム合金の機械的性質と張出し成形性

材質とその熱処理	引張り強さ kg / mm ²	降伏点 kg / mm ²	伸び% 2in 間隔	張出し成形性 (%)
75S Q*	33.75	14.06	19.0	100.0
24S Q*	32.34	12.66	20.0	98.0
24S-T3	45.00	30.94	18.0	95.0
61S W	24.61	14.77	22.0	90.0
75S O	22.50	9.84	17.0	80.0
24S O	18.98	7.73	19.0	80.0
3S O	11.25	4.22	30.0	75.0
61S O	12.66	5.62	22.0	75.0
2S O	9.14	3.52	35.0	70.0
75S T6	53.44	47.11	11.0	10.0

* 焼入れ後すぐ熱処理をし加工する。

(b) 合金鋼の機械的性質と張出し成形性

材質とその熱処理	引張り強さ kg / mm ²	降伏点 kg / mm ²	伸び% 2in 間隔	張出し成形性 %
Sheet Spec. AN-QG-772 Corr. Res. Ann.	52.73	21.09	40.0	100.0
Sheet Spec. QQ-S-636 1010	35.86	20.39	38.0	95.0
Sheet Spec. AN-S-11 Class A 1020	47.11	31.64	32.0	90.0
Sheet QQ-S-766 Class 3 Type 410	42.19	24.61	25.0	85.0
Sheet Spec. AN-QQ-772 Corr. Res. 1/4 Hard Class II	87.89	52.73	25.0	60.0
Sheet Spec. AN-QQ-772 Corr. Res. 1/2 Hard Class II	105.47	77.34	15.0	25.0
Sheet Spec. AN-QQ-772 Corr. Res. 3/4 Hard Class II	123.04	94.92	10.0	10.0
Sheet Spec. AN-QQ-772 Corr. Res. Full Hard Class II	130.07	98.43	3.0	2.0

1) 文献 (104) 参照

はアルミニウム合金とステンレス鋼類の張出し成形性を示すものである。一方では 75S の Q 处理材を 100% と見なし、一方ではステンレス鋼の焼鉄材を 100% と見なしている。

張出し類似の加工法は、型材、管材などの曲げにも盛んに応用されている。型材の曲げでは断面形状を崩さないために、成形ブロックに接する部分にさらに

‘たわみ性保護ブロック’(自在心金)(Snake)を当てている例が多い。ラジャルドロー成形で最も好都合な型材の断面は帽子型である。

図 62 はパイプのラジャルドロー成形に用いられる型である。心金の使用方法はパイプ寸法により異なる。図 63

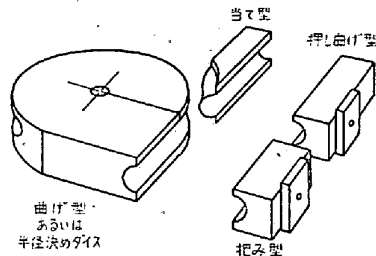


図 62 管のラジャルドロー曲げ型 (Dewitt)

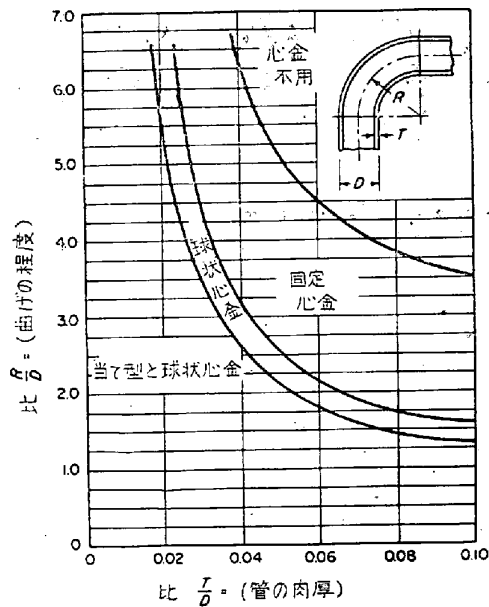


図 63 管のラジャルドロー曲げにおける心金の使用区分 (Dewitt)

5. ロール成形法

帯板を形材に曲げる連続成形法で、実は加工機構はほとんど単純曲げである。連続 5~6 組の成形ロールを直列に配置し U 字溝型材、パイプなどに曲げ成形を行わせる。ロール軸は水平を原則とするが、任意の角度を取らせて差支えぬ。

ロールパスの設計には製品の立上り寸法を基準に考える。図 64 のごとき U 字溝型材を例に取ると、立上り H を達するのに、必要な成形率を、材料長手方向に対する立上り角によって与え、これを 1 度 25 分に定めている。

したがつて、 H だけ立上がらせるに必要なパスの距離は

$$L = H \cot 1^{\circ}25' \\ = 40.436H$$

である。相隣るロールの平均間隔を 15 インチ (約 400 mm) として、 L を平均間隔で割つて所要ロール組数 N を知る。

さて、図 64 に必要な帶板の巾は

$$W = 2l_1 + l_2 + 2C, \quad C = \text{曲げ代}$$

$$(31) \text{ より } C = (R_1 + kt_0) \frac{\pi\alpha}{180} = (R_1 + 0.45t_0) \frac{\pi\alpha}{180} \\ = (0.0175R_1 + 0.0078t_0)\alpha \quad \alpha = \text{曲げ角. (度)}$$

全組数 N のロールの m 番目のパス高さはつぎのように定める: $h_m = H \times m/N$

ウェブ l_1 部の傾角 α_m はつぎのごとく定める。

$$(R_1 + t_0) \text{ vers } \alpha_m = \frac{m}{N}$$

$$\text{あるいは } \sin \alpha_m = \frac{1}{l_1} \left\{ h_m - \frac{m}{N} (R_1 + t_0) \right\}$$

m 番目のロールに設ける曲げ代は全曲げ代 C に等しくする。したがつて、 α_m に応げ曲げ半径 r_m を最終半径 R_1 より大きくとる。

$$r_m = \frac{180}{\pi\alpha_m} \cdot C - \frac{t_0}{2}, \quad \alpha_m \text{ (度)}$$

ロール成形に属さないが、従来から 3 本組のロールによる、板、棒、型材の曲げが行われている。曲げロールは 2 個のロールのみの間で材料を挟むことができるか否かによりピンチ型、ピラミッド型に分類され、前者では 2 個のピンチロールのみ駆動、他の 1 個は遊びロールとなる。後者では 3 本とも駆動ロールである。

曲げ精度を高め生産性を上げるためにラッピング、ロールというタイプがある。この場合には心金ロールによつて製品の内径を寸法決めすることができる。ただし、製品は全円周にわたるものでなくてはならぬ。

6. ロールフローイング加工

(しごきスピニング加工)

旋盤主軸とともに板を面に直角な軸のまわりに回転させ主軸に取りつけられた型の中心部から次第に外側に向つて押しつける作業はスピニングとか‘へら押し’などといわれ、すでに 1000 年以上の歴史をもつ技術である。しかし、加工機構の解析は進んでいとはいえない。スピニング加工においてはすでに成形された部分の壁厚はブラン

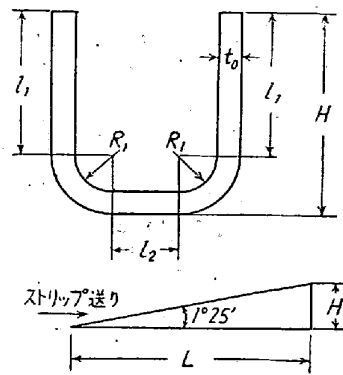


図 64 U 型材断面

ンク厚さよりやや厚くなる。プランクの上でチャック(型)より大きい半径位置にあつた部分がチャックの半径まで圧縮されるからである。このような場合のスピニング加工の限界は、しづ発生により定まり、特別の方策を講じない限りプランク直径と、容器直径の比(絞り比)を1.5以上にすることは困難である。しかし、スピニング加工で成形後の板厚をプランク板厚より積極的に減ずるような方策を講ずるならば、絞り比から予想されるより遙かに深い容器を成形できるはずである。この方式のスピニング加工をロールフローイング(しごきスピニング)という。

板厚減少を伴わぬ単純スピニングの場合は絞り比の最大限界(限界絞り比)は板厚の支配を受ける。たとえば板厚に対するチャック直径の値を大きくすると限界絞り比は低下する。図65はE. Siebel, K. H. Drögeのこの点に関する資料である¹⁾。曲線はヘラロールの丸味により影響を受け、丸味が大きいほど限界は高い。理由はロールへの馴染み角が大きく板の安定性がよくなるためかと思われる。主軸の回転数は遠心力によって板に半径方向に張力を与える効果があるともいわれているが、Siebelらは限界絞り比に大なる影響なしといつてある。

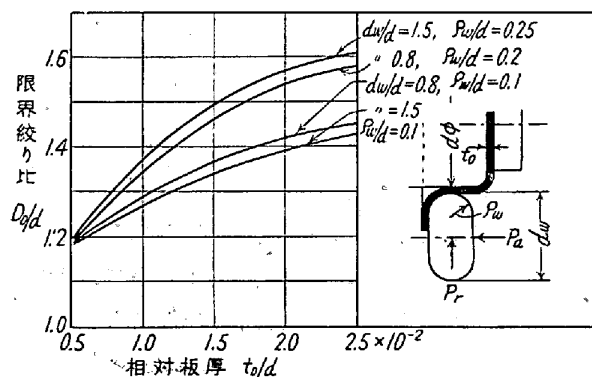


図 65 スピニングにおける限界絞り比 (Siebel)

a スピニング力

スピニングロールに加わる力、または加工力は図65に示すとく水平面内に二成分とこの他紙面に直角方向に P_u なる成分がある。値は水平二成分が他の一成分に比し大である。実測によれば P_r, P_a とともに工程のある時期に最大値に達し、ことに P_a はプレス深絞りにおけるポンチ荷重のごく送りの終末では零に帰する。この様子を図66に示す。両成分力とともにヘラロールの丸味の影響を受ける。工程中の最大値は、絞り比、板厚相対

チャック直径およびロール丸味の関数で図66aにこれを示す。

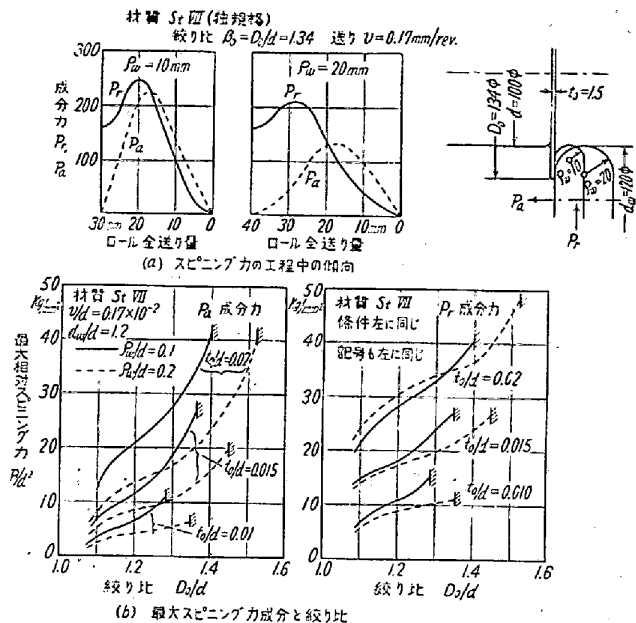


図 66 スピニング力の実験結果 (Siebel Drögl)

加工力の周方向成分 P_u は仕事量から見当づけられる。

$$\text{変形仕事量 } A \cdot \text{form} = \pi d \cdot b \cdot t \cdot \bar{\sigma}_e \cdot \bar{\varphi} / \eta_f$$

$$\text{ロールの仕事 } A \cdot \text{roll} = P_u \cdot n \pi d = P_u \pi d w / v$$

ただし、 d = チャック直径 $\bar{\sigma}_e$ = 平均変形抵抗

b = フランジ巾 $\bar{\varphi} = \ln \beta$ = 平均変形

t = 板厚 η_f = 加工効率

v = 1回転当たり送り量 w = 全送り量

である。 $A \cdot \text{form} = A \cdot \text{roll}$ とおくことにより、

$$P_u = \frac{b \cdot t \cdot v}{w} \cdot \bar{\sigma}_e \cdot \bar{\varphi} / \eta_f$$

$b = 17 \text{ mm}$, $t = 1.5 \text{ mm}$, $v = 0.17 \text{ mm/rev}$, $w = 30$

$\bar{\sigma}_e = 40 \text{ kg/mm}^2$, $d = 100 \text{ mm}$, $\bar{\varphi} = 0.17$,

$\eta_f = 15\%$

の場合には $P_u = 7 \text{ kg}$ である。

b ロールフローイング

板厚減少を伴うスピニングでは絞り比を大ならしめず深い容器を成形することができる。本加工法は切削加工性に乏しい耐熱金属の胴体(shell)を成形する特殊目的から発達したもので、従来のスピニングに比し、格段の精度と強力作業を要求されるものである。プランクは十分厚い板材としてよく、円すい形チャックによる円すい胴の成形が最も多い。元来、機械加工の困難が本法の発達を招いたものであるから、著名な旋盤製作工場から専用旋盤が売出されている。

Lodge and Shipley社では Floturn Lathe, Cin-

1) Siebel, E., Dröge, K. H. Werkst. u.

Masch.bau. 45 Jg. Heft 1 ss. 6~9 (1955)

cincinnati Milling Machines 社では Hydrospin の名でロールフローイング用旋盤を出している。ドイツ系には Bohner u. Köhle 社の Hycoform や Leifeld 社のものなどがある。

円すい胴の成形の場合に

は、図 67 のように半頂角 φ の円すい部壁厚は $t = t_0 \sin \varphi$ となる。

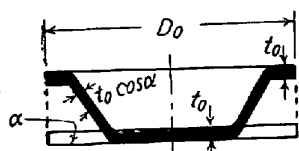
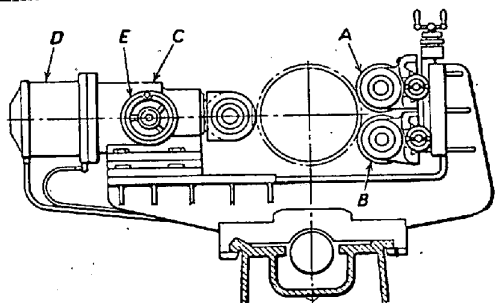
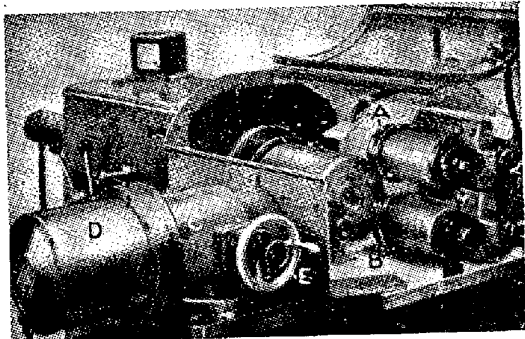


図 67 円すいのロールフローイング



A, B. 対向ローラー
C. 前部ローラー支持ハウジング
D. 液圧シリンダ (ロール圧力用)
E. マイクロメータねじ (ロール停止位置決め用)
把手

図 68 円筒洞のロールフローイング装置
(Leifeld 社) (ローラサドル)

したがつて φ がある程度小さいと非常に深く、薄い殻ができる。しかし $\varphi < 30^\circ$ にすることは困難で、たとえば平板から直接 $\varphi = 0$ の円筒を絞る場合には対向ローラーを必要とし、図 68 のごとくに同時に 3 個のロールを向い合せて成形せねばならぬ。この場合絞り比は 1・4 以下におさえる。

取扱う材料はステンレス鋼、チタン、モネル、K-モネル、インコネル、インコネルXなど耐熱合金を対象にしているが、もちろん一般軟金属にも応用可能である。加工の一例は図 69 のごとく、歩留りも従来の方法に比していちじるしく良い。また、強度、硬さが高まり、粒子も改善されるという。プランク厚さは 8 mm (5/16") までは取扱い可能である。

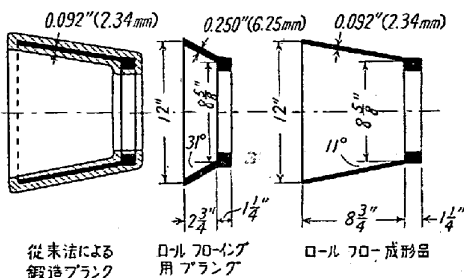


図 69 ロールフローイング用プランクの例

チャックは特に心金 (Mandrel) ともいい精度高い頑丈なものでなくてはならぬ。工具鋼製とし焼入れ硬さ Rc 58~60 とする。

自動送りされるしごきロールの運動精度も大切である。ロールは高速度鋼とし、Rc 78~70 に焼入れ Timken 軸受に支持されている。直径は 250~300 mm (10~12") で形状は図 70 のようである。

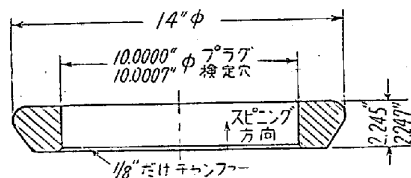
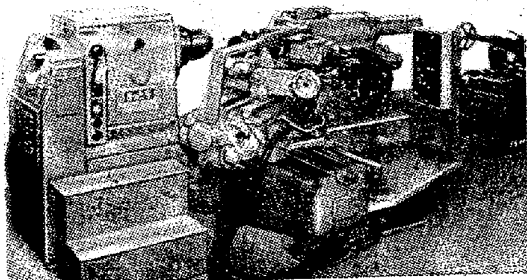
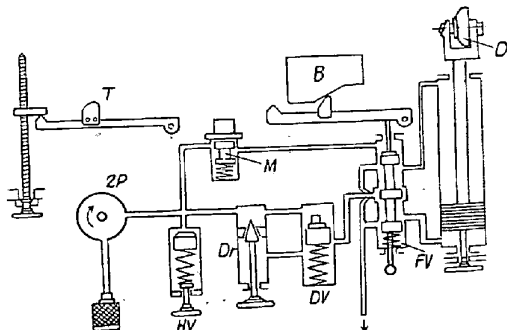


図 70 厚い平円板プランクから円すいを絞るロールの一例



a. 液圧自動做いスピニング旋盤
(Bohner u. Köhle 社)



Z P: 齒車ポンプ HV: 最高圧力調整弁
Dr: 紋り DV: 差圧弁 F V: パイロット弁
M: 電磁弁 T: 接触挺 B: 型板
D: ロール

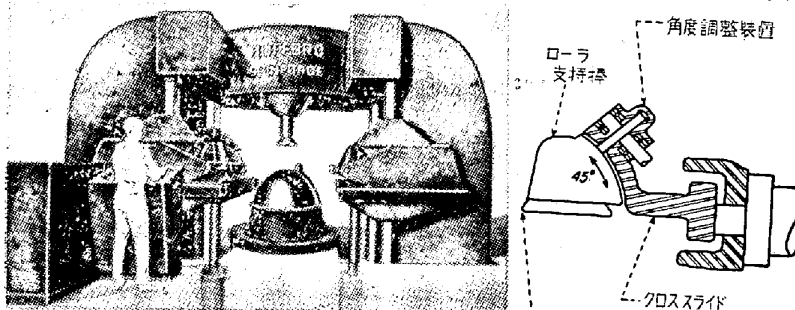
b. 上記写真 'Hycoform' における液圧自動做い機構
図 71 スピニング旋盤

表 12 しごきスピニングにおける主軸回転数と送り速度の一例

材質	ブランク直径	ブランク板厚 inch	製品板厚 inch	主軸回転数 r.p.m.	送り速度 in/mn
AMS 5070 (Med.carbon)	14 $\frac{1}{2}$ in	0.102	0.093	450	1 $\frac{1}{2}$
AMS 5510 (Stainless)	7 $\frac{3}{4}$ in	0.093	0.027	600	2
Mild Steel	14 in	0.118	0.044	600	3
AMS 5510 (Stainless)	21 in sq	0.095	0.027	600	4 $\frac{1}{2}$
Inconel X	51 in sq	0.120	0.060	1,000	3
Molybdenum	500~600°Fまでトーチランプであぶりながら			500	3/4
SAE 4130(Chrome-Molyb.)	直径 5 in の円筒	約 0.125	0.080	400	1 $\frac{1}{2}$
AMS 5504	直径 28 in の円筒	0.250	0.160	250	1/2
Copper	4 $\frac{1}{4}$ in	0.312	0.115	1,000	2
Copper	4 $\frac{1}{4}$ in	0.350	0.130	1,000	3
Copper	3 $\frac{1}{4}$ in	0.260	0.093	1,000	1 $\frac{1}{2}$ ~4 $\frac{1}{2}$

表 13 Leifeld 社ロールフロー旋盤の資料

材質	軟鋼	ステンレス鋼	アルミニウム 99.5%
ブランク厚さ(インチ)	0.14	0.14	0.315
ブランク直径(インチ)	13 $\frac{3}{8}$	11	9 $\frac{1}{2}$
製品最終外径(インチ)	8 $\frac{5}{8}$	8 $\frac{5}{8}$	6.3
最小壁厚さ(インチ)	0.047	0.032	0.080
製品高さ(インチ)	5 $\frac{3}{4}$	5 $\frac{5}{16}$	6 $\frac{7}{8}$
床から床までの時間(秒)	105	100	95
主軸回転数 r.p.m	264	264	492
サドル送りインチ/回転	0.013	0.011	0.016

図 72 Hufford 社ロールフロー成形機
(案) (171 型主軸馬力75HP)

加工実施資料を表 12 および 13 に示す。

図 71 は Bohner Köhle 社の Hycoform に取られている自動倣い機構、図 72 は Hufford の堅型ロールフローイング装置の計画図である。

文 献

1. 成形加工一般

(85) Sachs, G.: Principles and methods of sheet-metal fabricating, (Reinbold) (1951).

2. フランジング・バーリング

(86) 宮川松男: 金属薄板の塑性加工における挫屈問題 機械の研究, 第 10 卷, 1 号, 117~129 (昭 33)

(87) 吉田清太: 底孔がある円筒の成形における底孔の拡がり限, 科学研究所報告, 第 34 輯, 2 号 113~107 (昭 33)

(88) Timmerbeil, F. W.: Das Durchziehen von Kragen an ebenen Blechen, Werkst. u. Masch. bau. 44 Jg. Heft 5, ss. 218~222 (1954)

(89) Oienzle, O. u. Timmerbeil, F. W.: Mitteilungen für die Mitglieder der Forschungsgesellschaft Blechverarbeitung, Nr. 19 (1953), Nr. 1 (1954) Nr. 6 (1954)

(90) Voigt, P.: Durchstechen und Durchziehen von Blech, Werkst. u. Masch. bau. Jg. 42 Heft 8, ss. 334~335 (1952)

3. カーリング

(91) 富沢建造: 缶詰用ブリキ缶の巻締抵抗 (第 1 報) 機械学会論文集, 第 4 卷, 17 号, 369 ページ (昭 13)

(92) 富沢建造: 同 上 (第 2 報) 同 上 第 5 卷, 21 号, IV~31 ページ (昭 14)

(93) Langton, J. W.: Curling operations on light sheet-metal containers, Sheet Metal Industries, Vol. 34 No. 358 pp. 133~136, 137 (1957)

(94) Tangermann, D.: Die Bedeutung der Güteunterschiede an Feinblechen für die Herstellung von Konservendosen, Werkst. u. Masch. bau. Jg. 41, Heft 6, ss. 239~243 (1951)

4. ネッキング・ノージング

(95) 宮川松男: 円筒容器の Nosing における座屈限界, 機械学会, 塑性加工専門講演会前刷 昭和 32 年度, 33~37 (昭 32)

(96) Hoffman, O., Sachs, G.: Introduction to The Theory of Plasticity for Engineers. pp. 249~262 (McGraw) (1953)

(97) Nadai, A.: Plastic states of stress in curved shells, Forging of steel shells, T. ASME., March pp. 31~44 (1944)

(98) Sontag, G.: Berechnung der Umformkräfte und der Umformmöglichkeit beim Stauchen achsensymmetrischer Schalen, Werkst. u. Masch. bau. Jg. 42, Heft 4, ss. 135~138

(1952)

5. 張出し成形

- (99) 吉田清太: 張出し加工の潤滑, 科学研究所報告, 第 34 輯, 1 号, 53~65 (昭33)
- (100) Lane, F. B.: Streckformen (eine neue Art der Blechformung in Flugzeugbau). Luftfahrttechnik, Bd. 1 Nr. 5 ss. 91~96 (1955)
- (101) — New radial forming techniques for fabricating Sheet-metal parts, Machinery (London) Vol. 84 No. 2156 pp. 551~553 (1954)
- (102) — Two-way stretch for missile skins, Metalworking Prod. Vol. 101, No. 33 pp. 1424~1425 (1957)
- (103) Rumble, O. L.: Stretching the wings of a DC-8, Machinery (A) Vol. 64 No. 5 pp. 121 ~128. (1958)
- (104) — Hufford Carousel-type stretch forming machine, Machinery (London) Vol. 85 No. 2187 pp. 822~823 (1954)
- (105) — Contouring tapered sections by radial draw forming, Machinery (London) Vol. 89, No. 2285 p. 504 (1956)
- (106) Rardin, G. N.: Shock forming with explosives, Metalwork. Prod. Vol. 101, No. 11 pp. 448~451 (1957)
- (107) Glassco, R. B. and Myklestad, N. O.: Analysis of stretch-forming double-curved sheet-metal parts, Trans. ASME Vol. 66, Apr. 161~168 (1944)

6. ロール成形

- (108) 加藤健三: ロールフォーミング, 機械の研究, 第 10 卷, 1 号, 78~84 (昭33)
- (109) 渡辺英世, 清水康夫: 建築材料のロールフォー

ミング, 機械の研究, 第 10 卷, 1 号, 85~89 (昭33)

- (110) Hölzer, C.: Maschinen zum Kaltwalzen von Blechprofilen, Werkst. u. Masch. bau. Jg. 42 Heft 6 ss. 230~235 (1952)

- (111) Hörmann, E.: Induktive Schweißen, insbesondere von Rohrlängsnahten und seine Anwendung. VDI Zeit. Bd. 96 Nr. 3 ss. 65~72 (1954)

- (112) — Piercing operation performed on a roll-forming line Machinery (London) Vol. 92, No. 2358 pp. 209~210 (1958)

このほか曲げロールに関しては文献 (82) (83) および (46) 参照。

7. ロールフローイング加工

- (113) Sporck, C. L.: Roll flowing, principle of floturn process, Machinist, Vol. 98, No. 19 pp. 782~785 (1954)

- (114) Longley, R. G. and Hadley, W.: Metal flow-turning, Sheet Metal Ind. Vol. 33 No. 352 pp. 519~529 (1956)

- (115) — Leifeld hydraulic spinning and flow-forming lathes, Machinery (London) Vol. 84, No. 2153 pp. 383~388 (1954)

- (116) — U. S. satellite spotlights roll flowing, Metalwork. Prod. Vol. 102 No. 17 pp. 737 ~740 (1958)

- (117) Werksttech. u. Masch. bau. Jg. 47 Heft 8, ss. 410~413 (1957)

以上のか本節全般に対し,

- (118) Bolz, R. W.: Metals engineering processes (ASME handbook) pp. 113~180 (McGraw) (1958) が参考になる。